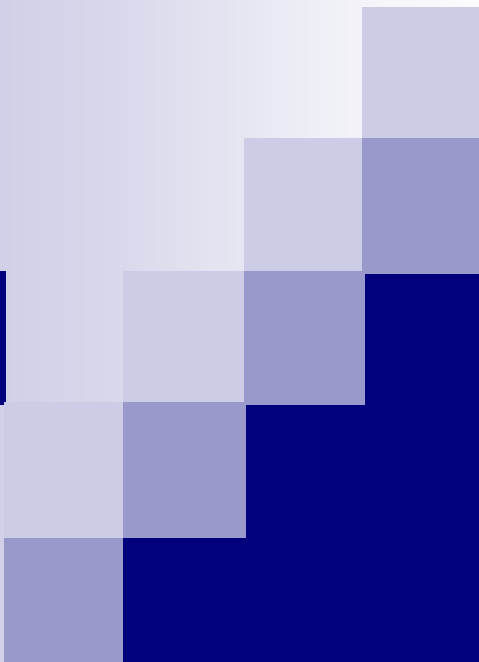


Курсовая работа Карамышева О.В

Научный руководитель **Колесников В.А**



SANC

Support of Analytic and Numeric
calculations for experiments on
Colliders

Nature of physical problem

Automatic calculation of pseudo– and realistic observables for various processes and decays in the Standard Model of Electroweak interactions, QCD and QED at oneloop precision level. For exclusion of IR singularities the soft photon emission is included

Method of Solution

Numerical computation of analytical formulae of form factors and helicity amplitudes. For simulation of two fermion radiative decays of Standard Model bosons (W^\pm , Z) and the Higgs boson a Monte Carlo technique is used

Restrictions on the complexity

In the current version of SANC there are 3 and 4 particle processes and decays available at one-loop precision level

Aimed on $2 \rightarrow 3$ processes

Levels of the calculations

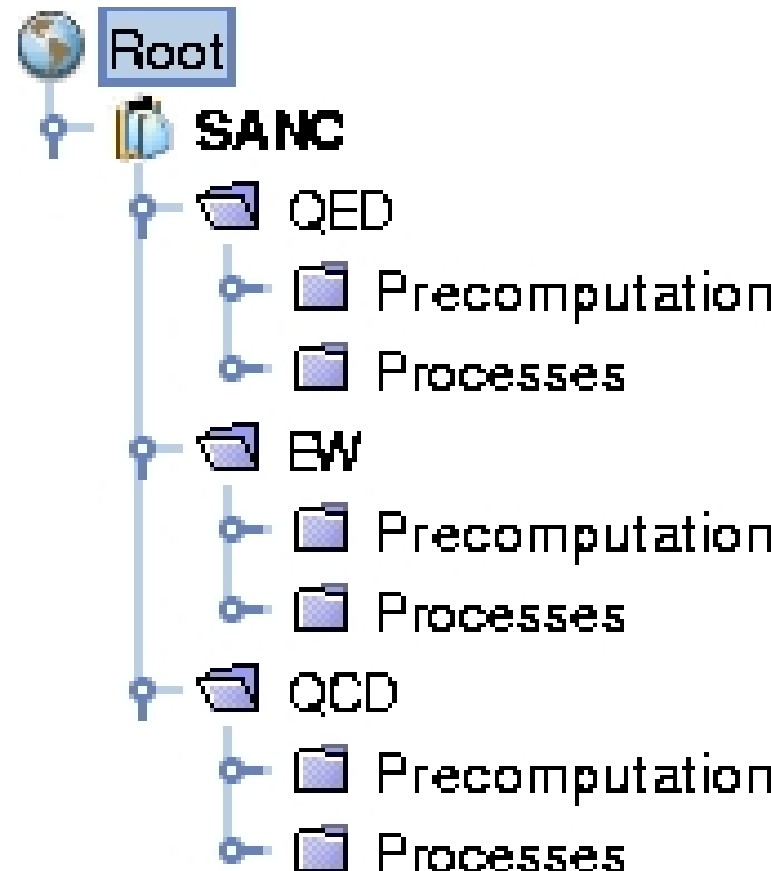
Level 1, Analytic

Level 2, Numerical

Level 3, MC generators

Processes, available in SANC

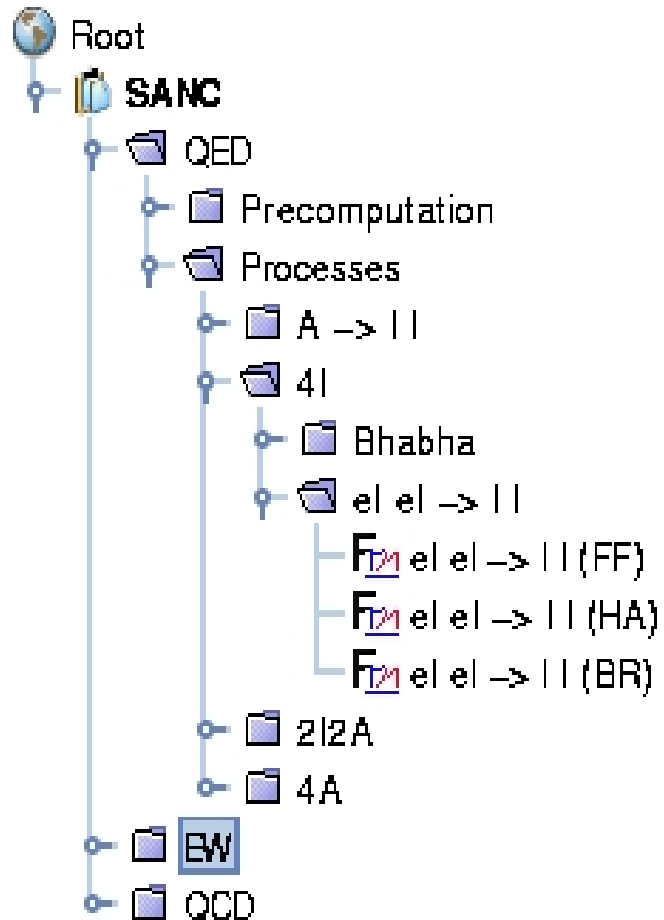
v.1.00



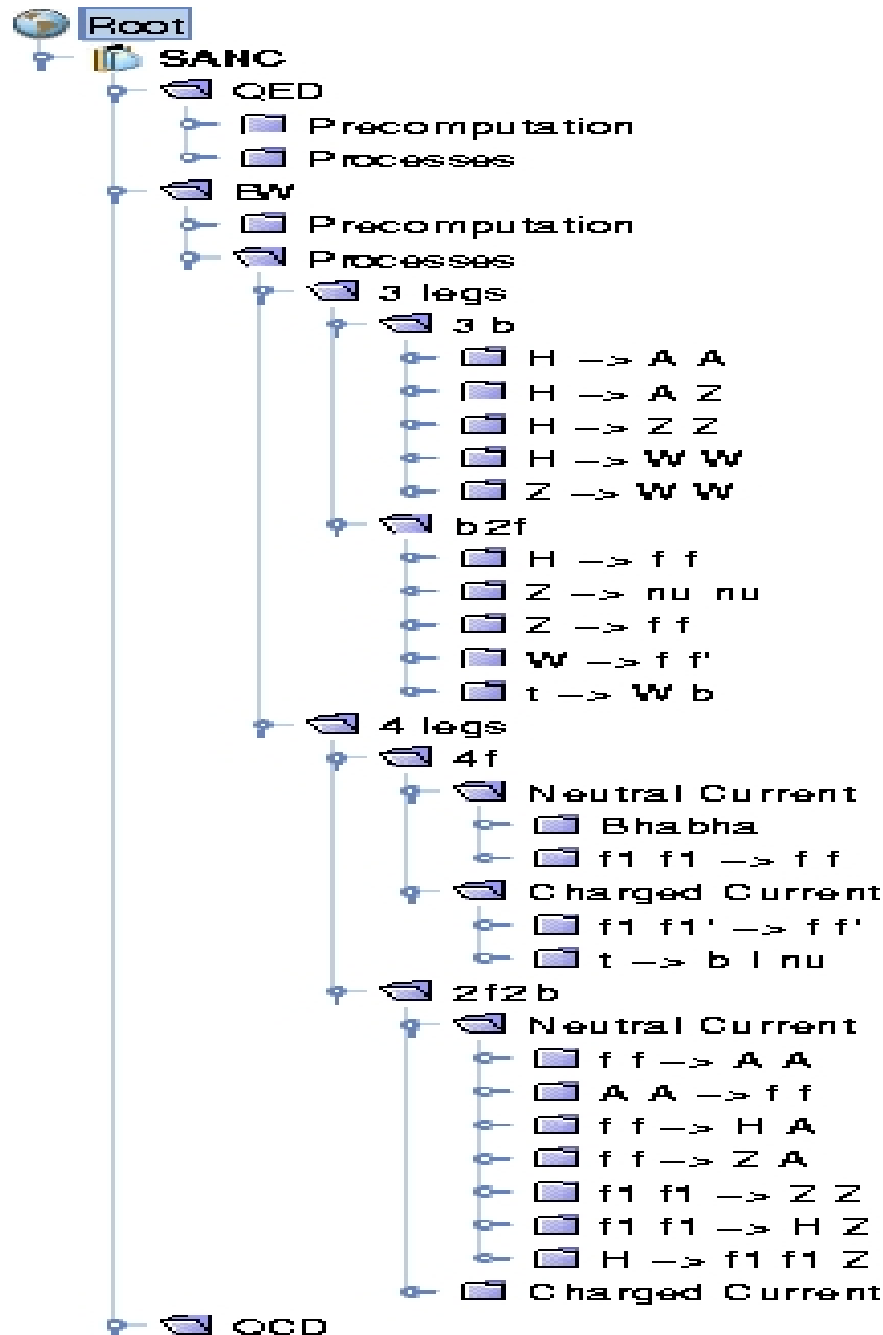
QED processes

QED processes are presented by three classes:

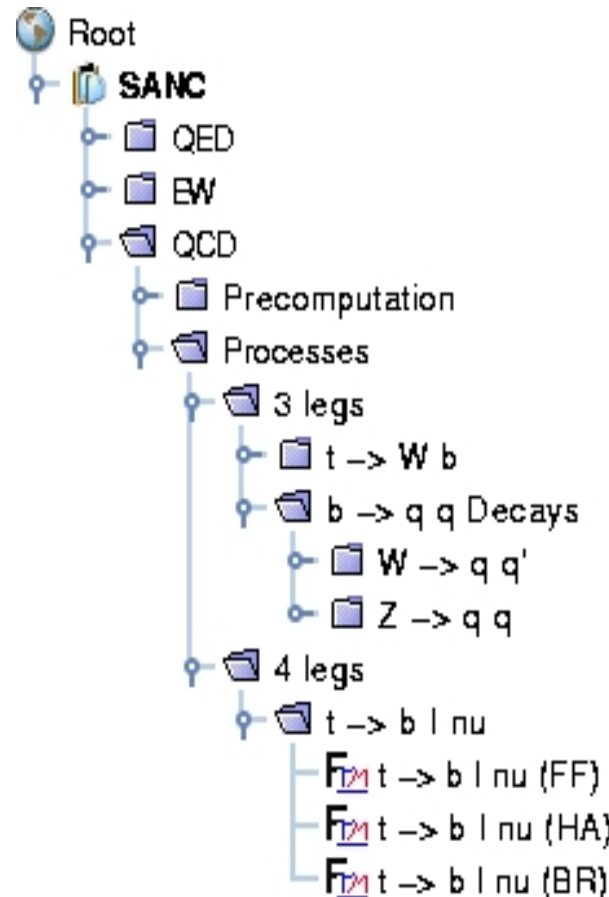
- 1) a heavy photon decay
- 2) e^+e^- annihilation into a lepton pair (including Bhabha scattering)
- 3) Compton-like processes, i.e. $e^+e^- \rightarrow \gamma\gamma$ or some other cross channel



EW processes

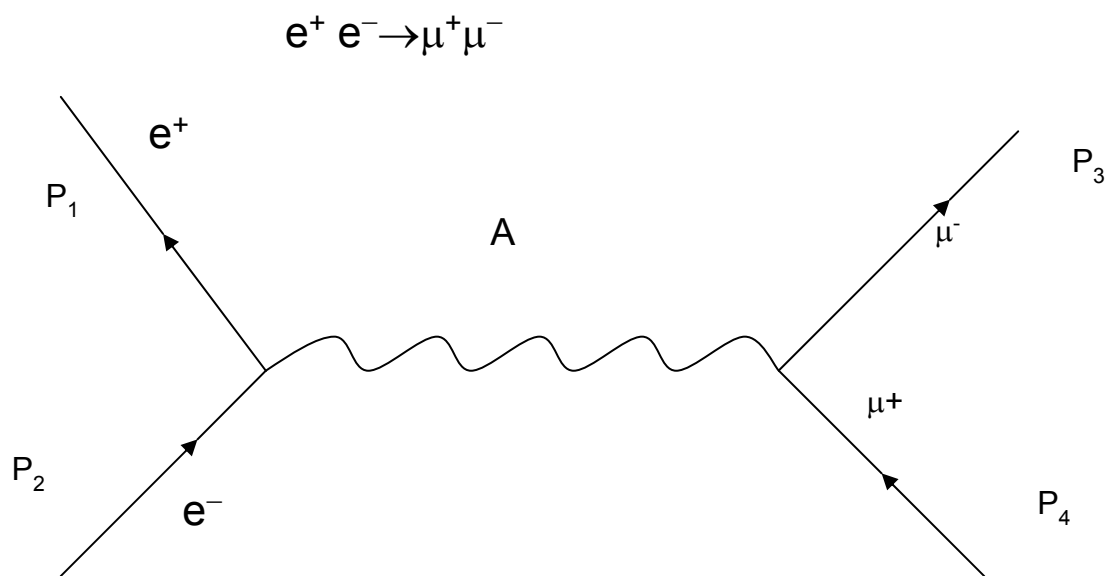


QCD processes



Процесс

$$e^+ e^- \longrightarrow \mu^+ \mu^-$$



Основные этапы вычисления

- 1) Изображаем диаграммы Фейнмана для процесса
- 2) Используя фейнмановские правила, записываем выражения для амплитуды

Основные этапы вычисления

- 3) Возводим амплитуду в квадрат
- 4) Вычисляем следы, усредняем и суммируем по спиновым состояниям начальных и конечных частиц

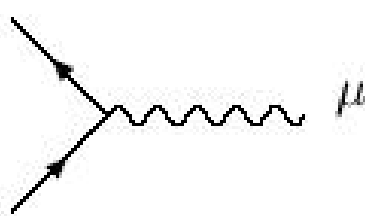
Правила Фейнмана QED



$$\frac{1}{(2\pi)^4 i} \frac{1}{ip + m_f} = \frac{1}{(2\pi)^4 i} \frac{-ip + m_f}{p^2 + m_f^2 - i\epsilon}$$



$$\frac{1}{(2\pi)^4 i} \frac{1}{p^2 - i\epsilon} \left[\delta_{\mu\nu} + (\xi^2 - 1) \frac{p_\mu p_\nu}{p^2} \right]$$



$$(2\pi)^4 i ieQ_f \gamma_\mu$$

Реализация в среде SANC

```
#include Declare.h
#call Global
#define lin1 "12"
#define lin1 "12"
#define lfn1 "16"
#define lfn1 "16"
G Amp = Vb(ii,p1,h2)*vert(1,12,12,al,ii)*U(ii,p2,h2)*
    Ub(jj,p4,h4)*vert(1,16,-16,be,jj)*V(jj,p3,h3)*
    pr(1,al,be,p1+p2);
#call FeynmanRules(0)
#call DiracEquation(Amp,1)
#call MakeAmpSquare(Amp,AmpSq,1)
#call Trace (AmpSq, sigma,1,1)
print
.end
```

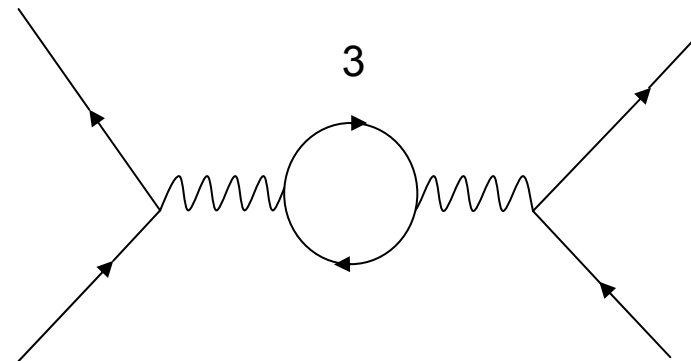
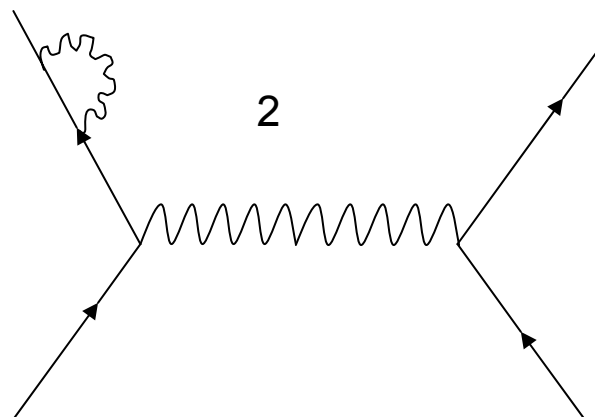
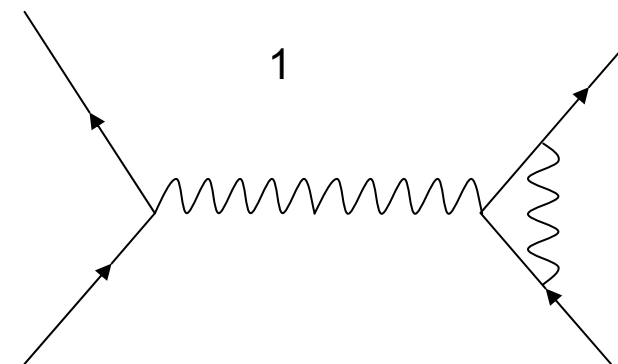
Sigma=+8*den(1,0,p1+p2)^2*e^4*(
+(p1.p2)*mmo^2
+(p1.p3)*(p2.p4)
+(p1.p4)*(p2.p3)
);

CompHEP: a package for evaluation of Feynman diagrams,
integration over multi-particle phase space and event generation
<http://theory.sinp.msu.ru/comphep>

Радиационные поправки

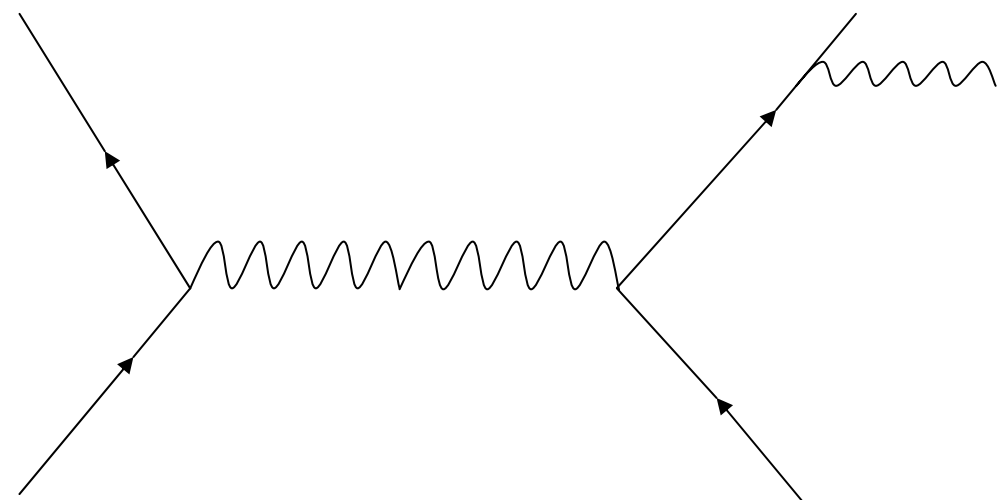
Виртуальные

- 1) к вершине
- 2) к внешней линии
- 3) Поляризация вакуума



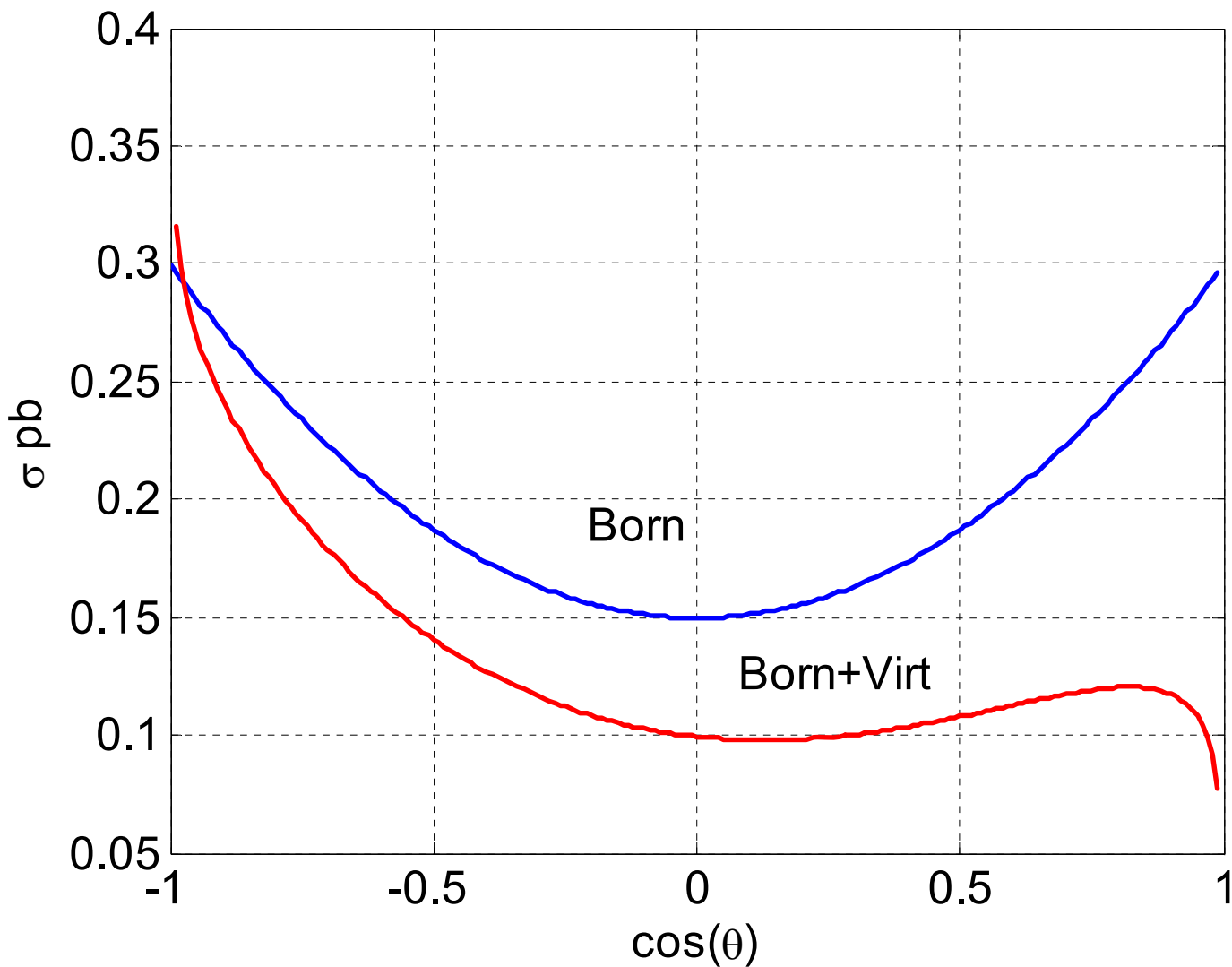
Радиационные поправки

Bremstrahlung
тормозное
излучение

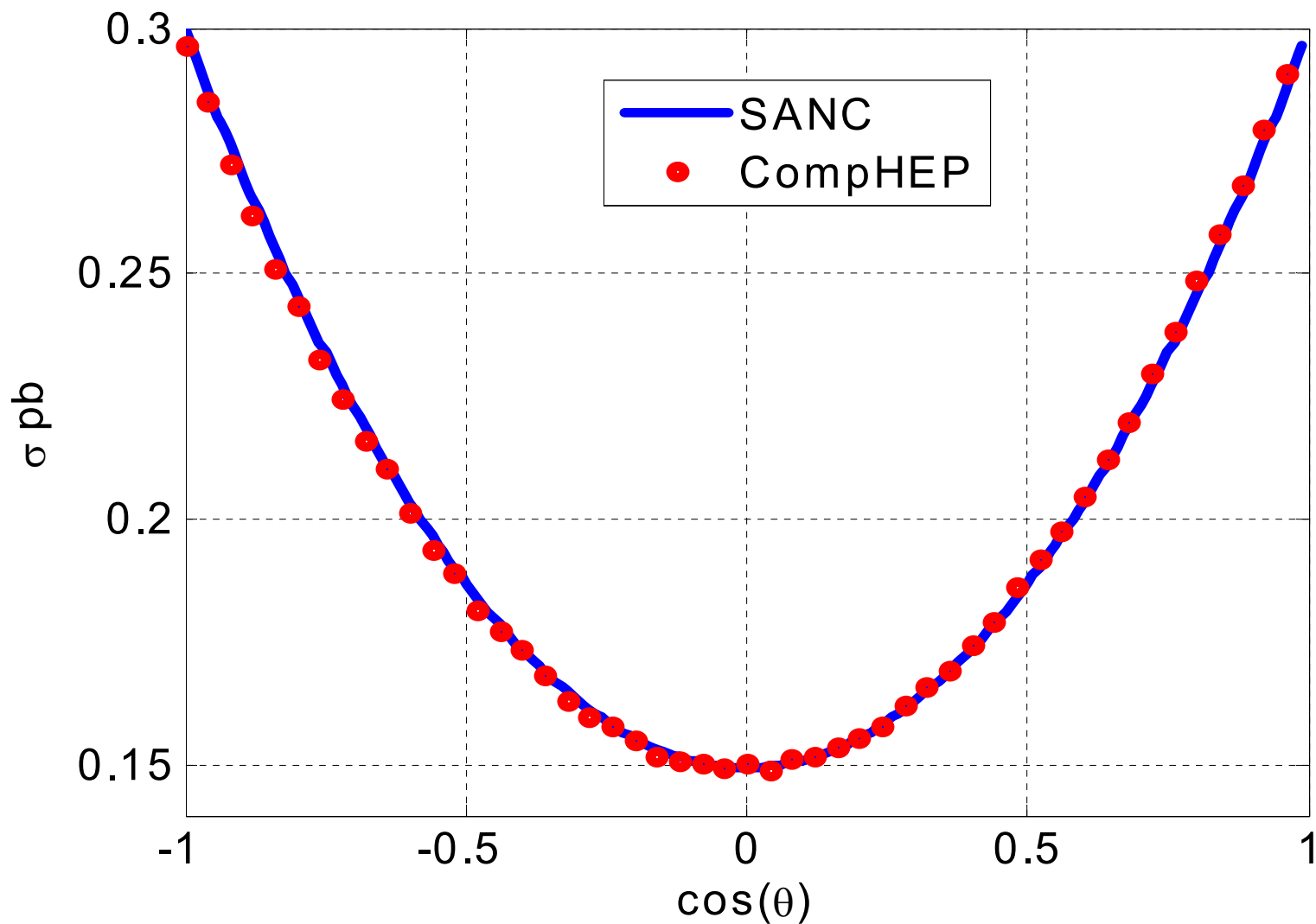


Soft / Hard

Результаты



Сравнение с CompHEP



Заключение

- Ознакомился с системами SANC и CompHEP
- Рассчитан процесс $e^+e^- \longrightarrow \mu^+\mu^-$ в деревесном приближении
- Получено аналитическое выражение для дифференциального сечения вычисленное с использованием процедур SANC, полученный результат сверен с CompHep
- SANC позволяет вычислить поправки, вычисленные виртуальные поправки представлены на графике
- В борновском приближении зависимости $\sigma(\cos(\theta))$ вычисленные в SANC и CompHEP совпадают.

Referenses

- 1) SANC project: <http://sanc.jinr.ru> ,
<http://pcphsanc.cern.ch>
- 2) CompHEP project
<http://theory.sinp.msu.ru/comphep>
- 3) M.E. Peskin, D.V. Schroeder “Introduction to quantum field theory” 2001